



بررسی کارایی روش اسمزی و استفاده از پیش‌تیمار فراصوت در استخراج ترکیبات فعال و آنتی‌اکسیدانی چای ترش و مقایسه آن با سایر روش‌ها

فاطمه برونا^{۱*}، مصطفی رحمتی جندآباد^۲

*-نویسنده مسئول، استادیار، گروه علوم و مهندسی باغبانی، دانشکده کشاورزی، دانشگاه علوم کشاورزی و منابع طبیعی خوزستان، ملثانی، ایران.

۲-دانشیار، گروه علوم و مهندسی باغبانی، دانشکده کشاورزی، دانشگاه علوم کشاورزی و منابع طبیعی خوزستان، ملثانی، ایران.

چکیده

اطلاعات مقاله

تاریخ های مقاله :

تاریخ دریافت: ۱۴۰۳/۹/۱۸

تاریخ پذیرش: ۱۴۰۳/۱۰/۱

كلمات کلیدی:

آنتوسینین

استخراج اسمزی،

پیش‌تیمار فراصوت،

فلاؤنونئید کل،

Hibiscus sabdariffa

DOI: 10.22034/FSCT.22.161.244.

* مسئول مکاتبات:

Borna@asnrukh.ac.ir

این پژوهش به بررسی کارایی روش‌های مختلف استخراج مواد مؤثره از گیاه چای ترش (Hibiscus sabdariffa)، با تمرکز بر تکنیک اسمز و به کارگیری پیش‌تیمار فراصوت پرداخته است. چای ترش که به دلیل محتوای بالای آنتوسینین، فلاونوئیدها و ترکیبات فنلی دارای خواص آنتی‌اکسیدانی، ضدبacterی و کاهنده فشار خون است، به عنوان منبعی غنی از ترکیبات مفید دارویی و غذایی شناخته می‌شود. در این مطالعه، از کاسبرگ‌های تازه چای ترش برای استخراج استفاده شد و تأثیر غلظت‌های مختلف محلول‌های اسمزی و پیش‌تیمار فراصوت بر میزان استخراج ترکیبات مورد بررسی قرار گرفت. نتایج حاکی از آن است که ترکیب روش اسمز با پیش‌تیمار فراصوت و حلal اتانول به طور معنی‌داری بازدهی استخراج ترکیبات فنلی و فلاونوئیدی را افزایش می‌دهد. بیشترین مقدار این ترکیبات در تیمار EO50S، شامل محلول اسمزی ۵۰ درصد ساکارز و ۱۰ درصد اتانول به همراه فراصوت، به دست آمد. این روش به دلیل حفظ خواص آنتی‌اکسیدانی مواد استخراج شده، بهویژه در مقایسه با روش‌های استخراج مرسوم، عملکرد بهتری نشان داد. همچنین، نتایج تجزیه به مولفه‌های اصلی نشان داد که روش‌های EO50S و EO40S از بیشترین بازدهی در استخراج مواد مؤثره گیاهی برخوردارند. در مجموع، یافته‌های این تحقیق نشان می‌دهد که روش اسمز با ترکیب فراصوت روشنی کارآمد و دوستدار محیط‌زیست برای استخراج مواد مؤثره چای ترش است و می‌تواند در صنایع دارویی و غذایی برای استخراج ترکیبات مفید گیاهان دارویی به کار گرفته شود.

۱- مقدمه

به طور کلی، تکنیک اسمز غالباً با مواد مایع مورد استفاده قرار گرفته و تحقیقات کمی درباره استخراج مواد جامد موجود است. با این حال، حلال استخراج به سختی به ترکیبات دارویی گیاهان نفوذ کرده و اجزای فعال به سختی از سلول‌های گیاهی خارج می‌شوند. در طی فرآیند اسمزی، مشخص شده که استفاده از نمک‌های معدنی و مواد قندی می‌تواند کارایی استخراج را افزایش دهد [۹]. از سوی دیگر، استفاده از پیش‌تیمارهای چون امواج فراصلوت نیز در افزایش راندمان استخراج مواد مؤثره گیاهی کاربرد دارد. به طوری که با ایجاد حباب‌های ریز و پدیده کاویتاسیون، دیواره‌های سلولی گیاه تخرب شده و مواد مؤثره آزاد می‌شوند [۲۲]. در این روش، به دلیل ایجاد دمای پایین، امکان استخراج ترکیبات حساس به حرارت فراهم می‌شود [۲۳]. امواج فراصلوت با تولید حباب‌ها و ترکیدن آنها باعث انتقال جریان‌های قوی به داخل ماده شده و در نهایت خروج مواد مؤثره را تسهیل می‌کنند [۲۴].

چای ترش با نام علمی *Hibiscus sabdariffa* از خانواده مالواسه، گیاهی یکساله یا چندساله با خواص دارویی متعدد است. این گیاه در طب سنتی به منظور پیشگیری و درمان سنگ‌های کلیوی و مثانه، به عنوان آنتی‌بacterیال، ضدقارچ، هیپولسترنولمیک، آنتی‌اسپاسمودیک و کاهش‌دهنده فشار خون استفاده می‌شود [۲۵]. همچنین، از این گیاه برای خنک‌کنندگی بدن، تصفیه و کنترل کلسترول خون و نیز به عنوان منبع غنی آهن بهره می‌برند. مقدار زیاد آنتوسیانین موجود در کاسبرگ‌های گیاه نقش مهمی در کاهش فشار خون و خواص ضدسرطانی آن دارد [۲۶]. کاسبرگ‌ها حاوی فلاونوئیدهای گوسپتین، هیپیستین و سابدارتین بوده و نیز شامل آلکالوئیدها، بتا‌سیتوسترون، آنتوسیانین، اسید سیتریک، و دیگر ترکیبات مفید هستند [۲۷].

گیاهان دارویی منبعی غنی از ترکیبات مؤثره نظری ترکیبات فنلی و فلاونوئیدی هستند [۱]. بسیاری از گیاهان دارویی حاوی ترکیبات خاصی هستند که عصاره‌های آن‌ها جایگزینی مؤثر برای ترکیبات شیمیایی در صنایع غذایی و دارویی فراهم می‌کند [۳، ۲]. عصاره‌گیری گیاهی به عنوان روشی مطرح در دسترسی به ترکیبات مؤثره محسوب می‌شود [۴]، که با پیشرفت فناوری، روش‌های نوین عصاره‌گیری جایگزین روش‌های مرسوم شده و در زمانی کوتاه‌تر، با مصرف حلال کمتر و راندمان بالاتر به کار گرفته می‌شوند [۲].

استخراج اسمزی که بر اساس اصول تبادل یونی توسعه یافته، یک روش سبز و پایدار محسوب می‌شود که به دلیل سادگی، ارزانی و سازگاری با محیط‌زیست، جایگاه مهمی در صنایع مختلف یافته است [۶، ۵]. در این روش، با استفاده از محلول‌های دارای فشار اسمزی بالا، بخشی از آب ماده غذایی حذف شده و ترکیبات مؤثره به محلول منتقل می‌شوند [۷]. این روش که فاقد فرآیند حرارتی است، امکان حفظ و دسترسی به ترکیبات حساس به حرارت را بدون تخرب حرارتی فراهم می‌آورد. تکنیک اسمز به عنوان یکی از فناوری‌های مؤثر در غنی‌سازی محصولات غذایی با ترکیبات فراسودمند مانند ترکیبات فنلی، فلاونوئیدی و آنتی‌اکسیدان‌ها شناخته می‌شود [۸].

این تکنیک برای استخراج اجزای فعال از منابع بیولوژیکی همچون فلاونوئیدها [۹، ۱۰]، آلکالوئیدها [۱۱]، ترکیبات فنلی [۱۲]، پلی‌ساقاریدها [۱۳]، لیگنان‌ها [۱۴]، گلیکوزیدهای فنیل‌اتانوئیدی [۱۵]، جین‌سنوزیدها [۱۶، ۱۷] و سوکسینیک اسید [۱۸] به کار رفته است. علاوه بر این، تکنیک اسمز کاربرد جذابی برای جداسازی و خالص‌سازی پروتئین‌های فعال نظری لیپاز [۱۹]، فاژ [۲۰] و پروتئاز سرین [۲۱] دارد.

برای تهیه عصاره گیاهی ۱۰ گرم کاسبرگ تازه چای ترش به نسبت ۱ به ۳ با حال (جدول ۱) به مدت ۱۲ ساعت در انکوباتور شیکردار و در شرایط تاریکی قرار داده شد. در نهایت حال حاوی مواد موثره گیاهی جدا سازی و سانتریفیوژ گردید و در یخچال در دمای ۴ درجه سانتی گراد نگه‌داری شد. برای اعمال پیش‌تیمار امواج فراصوت، تیمارهای حاوی محلول قندی ۴۰ و ۵۰ درصد با الکل و بدون الکل به مدت ۱۵ دقیقه در دستگاه تولیدکننده امواج فراصوت H 200UP، ساخت شرکت Euronda ایتالیا با توان ۳۵۰ وات و فرکانس ۳۴ کیلوهرتز قرار داده شد. در جدول ۱، تیمارهای مختلفی که برای استخراج ترکیبات موثره از کاسبرگ‌های چای ترش معرفی شده‌اند، آمده است که شامل ترکیب‌های آب و ساکاروز در غلظت‌های مختلف (از ۳۰ تا ۶۰ درصد)، ترکیب‌های حاوی اتانول ۱۰ درصد، و ترکیب‌هایی که به کمک امواج فراصوت به دست آمده‌اند، است. برای هر تیمار یک کد اختصاری در نظر گرفته شده است که در ادامه با آن توضیح داده شده است

در این مطالعه، اثر استخراج اسمزی قندی در استخراج مواد مؤثره چای ترش بررسی شد و با استفاده از پیش‌تیمار فراصوت برای افزایش راندمان استخراج، این روش با سایر روش‌های مرسوم استخراج مقایسه گردید

۲- مواد و روش‌ها

آزمایش در پاییز و زمستان ۱۴۰۲ در گروه علوم و مهندسی باغبانی، دانشگاه علوم کشاورزی و منابع طبیعی خوزستان (ملاثانی، ۳۵ کیلومتری شمال شرقی اهواز) انجام شد.

۱-۲- تهیه ماده گیاهی

گیاه دارویی چای ترش در آبان ماه ۱۴۰۲ از یک مزرعه واقع در شهرستان باوی، ملاثانی بصورت تازه جمع آوری سپس در دمای ۴ درجه سانتی گراد تا زمان انجام آزمایش قرار داده شد.

۲-۲- روش عصاره‌گیری

Table 1. Solvents used to extract the active ingredients of fresh sour tea sepals

No.	Solvents	Abbreviation
1	Water	W
2	Water/ 30% Sugar (Osmosis30)	O30
3	Water/ 40% Sugar (Osmosis40)	O40
4	Water/ 50% Sugar (Osmosis50)	O50
5	Water/ 60% Sugar (Osmosis60)	O60
6	10% Ethanol /Osmosis 30	EO30
7	10% Ethanol /Osmosis 40	EO40
8	10% Ethanol /Osmosis 50	EO50
9	10% Ethanol /Osmosis 40/Sonication	EO40S
10	10% Ethanol /Osmosis 50/Sonication	EO50S
11	Osmosis 40/Sonication	O40S
12	Osmosis 50/Sonication	O50S

خط معادله سپس Excel رسم گردید، $y=0.002x+0.2331$ $R^2 = 0.9924$ بدست آمد. جذب‌های خوانده شده از نمونه‌ها به جای y قرار داده شد و x یا همان غلظت بدست آمد. میزان فل کل و استاندارد فل از روی میزان جذب نمونه بر حسب میلی‌گرم اسید گالیک در ۱۰۰ گرم ماده خشک بیان شد.

۳-۲- اندازه گیری میزان اسیدیته و هدایت الکتریکی

نمونه‌ها تحت فرآیند اسمز در نسبت‌های مختلف ساکارز در دمای ۲۳ درجه سلسیوس (دمای محیط) قرار گرفته و مقادیر pH و EC در فواصل زمانی ۰، ۱، ۶، ۱۲ ساعت اندازه‌گیری شدند.

۵- تعیین مقدار فلاونوئیدهای کل

برای تعیین مقدار فلاونوئید کل از روش رنگ‌سنجد کلرید آلومینیوم استفاده شد [۲۹]. هر کدام از عصاره‌های متانولی گیاهی (۲۰۰ میکرولیتر) به صورت جداگانه با ۱/۵ میلی لیتر متانول، ۰/۱ میلی لیتر کلرید آلومینیوم (۱۰٪)، ۰/۱ میلی لیتر استات پتابسیم یک مولار و ۲/۱ میلی لیتر آب مقطر ترکیب شدند. سپس محلول‌ها در دمای اتاق به مدت ۳۰ دقیقه قرار داده شدند. جذب هر ترکیب واکنشی در ۴۱۵ نانومتر با دستگاه اسپکتروفوتومتر اندازه‌گیری شد. منحنی استاندارد با محلول روتین^۲ (ساخت شرکت سیگما) متانولی در غلاظت‌های ۱۰-۱۰۰ میکروگرم در میلی لیتر تهیه شد و منحنی با نرم افزار Excel رسم گردید، سپس معادله خط $y=0.0743x+0.0413$ بدست آمد. جذب‌های خوانده شده از نمونه‌ها به جای y قرار داده شد و x یا همان غلظت بدست آمد.

۶-۲- فعالیت آنتی اکسیدانی براساس مهار رادیکال آزاد DPPH

اندازه‌گیری فعالیت آنتی اکسیدانی براساس مهار رادیکال آزاد DPPH انجام شد [۳۰]. ابتدا عصاره‌های گیاهی در غلاظت‌های متفاوت (۵۰۰-۵ میکرولیتر) در متانول خالص تهیه شد. سپس آزمایش بر روی نمونه انجام تا غلاظت مناسب تعیین گردد. در اینجا ۴۰ میکرولیتر غلاظت

اندازه گیری pH نمونه‌های محلول اسمزی توسط دستگاه pH متر در طول مدت زمان فرایند اسمز تعیین گردید.

اندازه‌گیری ضریب هدایت الکتریکی (Electrical Conductivity (EC)) ضریب هدایت الکتریکی نمونه‌های محلول در طول مدت اسمز توسط EC متر بر اساس $\mu\text{S}/\text{Cm}$ اندازه‌گیری شد.

۴-۲- تعیین مقدار فل کل

مقدار فل کل با معرف فولین-سیکالتوا^۱ تعیین شد [۲۸]. برای سنجش مقدار فل کل، ابتدا آزمایش را برای دامنه بزرگی از یک نمونه به عنوان مثال ۵ تا ۲۰۰ میکرولیتر انجام داده تا حجم مناسب نمونه عصاره برای ادامه کار مشخص شود. مقدار ۲۰۰ میکرو لیتر از عصاره رقیق شده انتخاب و با آب مقطر به حجم ۵۰۰ میکرولیتر رسانده شد. سپس به آن ۲/۵ میلی لیتر معرف فولین اضافه گردید و پس از ۶ دقیقه قراردادن در تاریکی، دو میلی لیتر کربنات سدیم ۷/۵ درصد به آن اضافه شده و نمونه‌ها به مدت ۹۰ دقیقه در دمای آزمایشگاه در تاریکی قرار گرفتند. در نهایت جذب آن در ۷۶۵ نانومتر با دستگاه اسپکتروفوتومتر خوانده شد. منحنی استاندارد توسط غلاظت‌های مختلف ۵ تا ۱۰۰ میلی‌گرم در میلی لیتر اسید گالیک تهیه و منحنی با نرم افزار

فعالیت آنتی‌اکسیدانی بر حسب IC ۵۰ نشان داده شد (غلظت مؤثر عصاره برای مهار ۵۰ درصد رادیکالهای ABTS).

۸-۲- اندازه گیری میزان آنتوسبیانین تام عصاره گیاهی

میزان آنتوسبیانین تام با استفاده از روش تفاضلی pH با تغییرات جزئی تعیین شد [۳۲]. نمونه از یک میلی‌لیتر عصاره متانولی گرفته شد و به یکی از آنها بافر کلرید پتاسیم، pH ۱.۰ و دیگری بافر استات سدیم، pH ۴.۵ اضافه و به حجم ۱۰ میلی‌لیتر رسید. پس از تعادل در ۱۵ دقیقه، جذب به ترتیب در ۵۲۰ نانومتر و ۷۰۰ نانومتر با استفاده از اسپکتروفوتومتر اندازه گیری شد. محتوای آنتوسبیانین تام براساس میلی‌گرم در لیتر سیانیدین-۳-گلوکوزید به صورت فرمول (۳) محاسبه شد.

فرمول (۳)

$$\text{Anthocyanin content (mg/g)} = \frac{Abs}{eL} \times MW \times D \times \frac{V}{G}$$

pH ۱.۰ = تفاوت میزان در pH ۱.۰ و pH ۴.۵

MW = وزن مولکولی = ۴۴۹.۲ گرم/مول سیانیدین-۳-گلوکوزید

DF = ضریب رقت

E = ۲۶۹۰۰ ضریب خاموشی مولی برای سیانیدین-۳-گلوکوزید

V = حجم محلول نهایی (میلی‌لیتر)

G = ماده خشک (میلی‌گرم)

مناسب تعیین شد. سپس نمونه با متانول ۱۰۰ درصد به حجم ۱۰۰ میکرولیتر رسانده و به آن ۳۵۰ میکرولیتر DPPH یک میلی مولار اضافه گردید. سپس کل حجم را به غلظت ۲ میلی‌لیتر رسانده و جذب نمونه‌ها بعد از ۳۰ دقیقه در دمای آزمایشگاه در ۵۱۷ نانومتر اندازه گیری شد. درصد مهار رادیکال آزاد DPPH نمونه‌ها با استفاده از رابطه زیر به دست آمد.

$$\text{R\%} = \frac{AD - AS}{AD} \times 100 \quad (1)$$

DPPH = درصد مهارکنندگی، AD : جذب در ۵۱۷ نانومتر، AS : جذب نمونه‌ها در ۵۱۷ نانومتر

۷-۲- فعالیت آنتی‌اکسیدانی براساس مهار رادیکال آزاد ABTS

برای اندازه گیری فعالیت آنتی‌اکسیدانی بر اساس مهار رادیکال ABTS [۳۱]، ابتدا حجم یکسانی از محلول ۷ میلی‌مolar ABTS و ۲/۴۵ میلی‌مolar K2S2O8 با هم مخلوط شده و در دمای ۲۵ درجه سانتیگراد به مدت ۱۶ ساعت در شرایط تاریک نگهداری شد. محلول کاتیونی رادیکال ABTS به دست آمده سپس با متانول رقیق شد تا به جذب $0/2 \pm 0/7$ در ۷۳۴ نانومتر برسد. پس از آن، عصاره (۰/۱ میلی‌لیتر) با محلول رادیکال ABTS (۳/۹ میلی‌لیتر) مخلوط شد و محلول به دست آمده به مدت ۶ دقیقه در دمای محیط نگهداری شد و سپس جذب آن در ۷۳۴ نانومتر (As) در برابر نمونه شاهد (متانول؛ Ac) اندازه گیری شد. فعالیت مهار رادیکال ABTS عصاره طبق فرمول زیر محاسبه شد:

$$I\% = \frac{(Ac - As)}{Ac} \times 100 \quad (2)$$

آنتی اکسیدانی) با آزمون چند دامنه‌ای دانکن در سطح احتمال خطای ۰/۰۵ انجام شد. از ضریب همبستگی پیرسون با استفاده از SAS و تجزیه به مولفه‌های اصلی با استفاده از نرم افزار MATLAB انجام شد.

۳- نتایج و بحث

بررسی نتایج جدول تجزیه واریانس اثر روش‌های مختلف استخراج بر میزان pH و EC در واحد زمانی صفر، یک ساعت، شش ساعت و ۱۲ ساعت بعد از اعمال تیمار (جدول ۲) نشان داد. تغییرات درجه اسیدیته و هدایت الکتریکی ($\mu\text{S}/\text{Cm}$) در واحد زمان در سطح احتمال یک درصد معنی دار شده است.

۹-۲- تجزیه و تحلیل آماری

در ابتدا اثر تیمارهای مختلف استخراج بر میزان pH و EC در چهار سطح زمانی (۰، ۱، ۶ و ۱۰ ساعت) در قالب آزمون فاکتوریل بررسی شد. سپس اثر روش‌های مختلف استخراج بر میزان فنل کل، فلاونوئید کل، آنتوسیانین کل و خاصیت آنتی اکسیدانی در قالب طرح کاملاً تصادفی انجام شد. به منظور تجزیه و تحلیل داده‌ها از نرم‌افزار SAS استفاده شد و مقایسه میانگین‌ها برای داده‌های pH و EC با آزمون LSmeans در سطح احتمال خطای ۰/۰۱ برای داده‌های کیفی (فنل، فلاونوئید، آنتوسیانین، خاصیت

Table 2. Analysis of variance (ANOVA) results for the effect of time and different extraction methods on the pH and EC levels of fresh roselle calyces extracts.

Sources	DF	Mean Squares	
		pH	EC
Treatment	11	0.11**	1213383.09**
Time	3	125.9**	26788483.25**
Treatment × Time	33	0.02**	239402.69**
Error	96	0.001	14.11
CV (%)	-	1.24	10.91

EO50S، در مقایسه با تیمارهای دیگر تغییرات pH کمتری در طول زمان دارند، به طوری که کاهش pH در بازه‌های زمانی ۶ و ۱۲ ساعت در این تیمارها نسبت به تیمارهای بدون فراصوت ناچیز است. تغییرات pH در طول زمان ممکن است به دلیل ویژگی‌های ترکیبات خروجی (اسیدی، بازی یا یونی و غیر یونی) در فرآیند اسمز و دیگر فرایندها رخ دهد. همچنین، غلظت بالای محلول اسمزی ممکن است حالت بافری ایجاد کرده و سرعت حرکت یون‌ها و الکترون‌ها را کاهش دهد. علاوه بر این، امواج فراصوت می‌توانند به آزادسازی ترکیبات کمک کرده و در مراحل اولیه بر کاهش pH تأثیرگذار باشند، اگرچه تأثیر آن در ساعت‌بعدی کمتر به چشم می‌خورد [۲].

در جدول ۳، مقایسه اثر تیمارهای مختلف استخراج بر تغییرات pH عصاره کاسبرگ‌های تازه چای ترش در چهار بازه زمانی (۰، ۱، ۶ و ۱۲ ساعت) براساس آزمون LS means (در سطح احتمال یک درصد) بررسی شده است. نتایج نشان می‌دهد که در همه تیمارها، pH از زمان صفر به مرور کاهش می‌یابد. بطوریکه بیشترین میزان pH در زمان صفر در تیمار O30، O40 و W مشاهده شد. تیمارهایی که دارای غلظت بالاتری از ساکارز و اتانول هستند، pH کمتری نسبت به تیمارهای دیگر دارند. به عنوان مثال، تیمارهای O60، EO30 و EO40 در ابتدای آزمایش (زمان صفر) pH کمتری نشان داده‌اند. تیمارهایی که از امواج فراصوت استفاده کرده‌اند، مانند EO40S و

بین تیمار ۰، ۱، ۶ و ۱۲ اختلاف معنی داری مشاهده شد. به نظر می‌رسد استفاده از پیش‌تیمار امواج فرا صوت باعث خروج حجم بالای کنترولیتها از اندازه‌هایی گیاهی شده است. غلظت بالای یونها در ارتباط با هدایت زیاد کتریکی است که به ورود ترکیبات غذایی به آب مربوط می‌شود [۳۵]. هدایت کتریکی تحت تأثیر عوامل مختلفی از جمله افزایش دما، غلظت محلول، اندازه ذرات مواد غذایی و نوع پیش‌فرآوری به کار رفته قرار دارد و به همین دلیل افزایش می‌یابد [۳۶]. در یک مطالعه، تأثیر هدایت کتریکی ناشی از ترکیبات مختلف (محلول قندی و محلول قندی - نمکی) بر فرآیند خشک‌کردن اسمزی قطعات آناناس مورد بررسی قرار گرفت. نتایج نشان داد از آنجا که هدایت کتریکی بالا نشان دهنده وجود یون‌های بیشتر است، محلول اسمزی ترکیب قند و نمک به تسهیل انتقال جرم و افزایش کارایی فرآیند اسمز منجر شد. همچنین در این نوع محلول، مقدار کنترولیت‌های آزاد شده (یون) کمتری، اندازه گیری شدند [۳۷].

در جدول ۴، تأثیر تیمارهای مختلف استخراج بر تغییرات هدایت الکتریکی (EC) عصاره کاسبرگ‌های تازه چای ترش در طول زمان بررسی شده است. نتایج نشان می‌دهد هدایت الکتریکی (EC) در تمام تیمارها به مرور زمان افزایش می‌یابد، به طوری که کمترین EC در زمان صفر و بیشترین آن در زمان ۱۲ ساعت ثبت شده است. این امر نشان می‌دهد که با گذشت زمان، یون‌های بیشتری به محلول منتقل شده و هدایت الکتریکی آن افزایش یافته است. ترکیبات با اتانول و غلظت ساکارز، در زمان صفر EC کمتری نشان می‌دهند. این کاهش هدایت الکتریکی در اثر حضور اتانول به عنوان ماده‌ای که توانایی حل کردن یون‌ها را نسبت به آب کاهش می‌دهد و غلظت بالای ساکارز، می‌تواند باعث کندتر شدن تحرک یون‌ها و کاهش اولیه EC شود [۳۳، ۳۴]. تیمارهایی که با امواج فرا صوت پردازش شده‌اند (مثل EO40S و EO50S)، تغییرات کمتری در نشان می‌دهند. در واقع، در این تیمارها در مقایسه با سایر روش‌ها، افزایش هدایت الکتریکی در بازه زمان به میزان کمتری رخ می‌دهد. این در حالی است که در سایر تیمارها

Table 3. The effect of different extraction treatments on changes in pH of the fresh calyx of roselle per time

Treat	Time (h)			
	0	1	6	12
1 W	6.31(ab)	3.08(e)	2.78(gf)	2.58(ji)
2 O30	6.35(a)	2.77(gf)	2.67(ih)	2.45(onml)
3 O40	6.37(a)	2.72(gh)	2.55(jk)	2.37(orpq)
4 O50	6.25(bc)	2.71(gh)	2.52(jkl)	2.35(rqq)
5 O60	6.15(d)	2.75(gfh)	2.44(onmpl)	2.3(r)
6 EO30	6.24(bcd)	2.76(gf)	2.55(jk)	2.4(onmpq)
7 EO40	6.18(cd)	2.82(f)	2.49(nmkl)	2.4(onpq)
8 EO50	6.25(bc)	2.78(gf)	2.46(onmkl)	2.43(onmp)
9 EO40S	6.18(cd)	2.48(nmkl)	2.40(onmpq)	2.32(rq)
10 EO50S	6.25(bc)	2.43(onmp)	2.43(onmpl)	2.36(rpq)
11 O50S	6.25(bc)	2.38(orpq)	2.36(rpq)	2.32(rq)
12 O40S	6.38(a)	2.49(jmkl)	2.48(nmkl)	2.39(orpq)

Table 4. The effect of different extraction treatments on changes in EC of the fresh calyx of roselle per time

Treat	Time (h)			
	0	1	6	12
1 W	104.3(r)	1667.3(hij)	2383.3(cb)	2993.3(a)
2 O30	104.3(r)	1251.3(lm)	1777.6(hfglj)	2543.3(b)

3	O40	86.03(r)	1096.3(nm)	1645.0(ij)	2206.6(cd)
4	O50	63.40(r)	656.0(oqp)	1165.6(nm)	1658.0(ij)
5	O60	41.63(r)	421.6(q)	950.3(on)	1274.3(lm)
6	EO30	88.90(r)	1280.0(lm)	2166.6(cd)	2630.0(b)
7	EO40	70.86(r)	883.3(onp)	1626.0(ij)	2064.6(fde)
8	EO50	49.80(r)	646.6(qp)	1313.6(klm)	1616.6(ij)
9	EO40S	70.80(r)	1848.6(hfgie)	1990.6(fdge)	2070.0(fde)
10	EO50S	49.46(r)	1542.3(klj)	1608.3(kij)	1714.6(hgij)
11	O50S	63.80(r)	1657.0(ij)	1660.6(ij)	1825.0(hfgij)
12	O40S	86.40(r)	1777.0(hfgij)	1957.3(hfgde)	2128.3(cde)

سطح یک درصد بین تیمارهای مختلف از نظر میزان فنل کل، فلاونوئید کل، آنتوسیانین و خاصیت آنتی اکسیدانی وجود دارد.

همچنین بررسی نتایج جدول تجزیه واریانس اثر تیمارهای مختلف بر میزان فنل کل، فلاونوئید کل، آنتوسیانین و خاصیت آنتی اکسیدانی کاسبرگ های تازه چای ترش (جدول ۵) نشان داد، اختلاف معنی داری در

Table 5. The analysis of variance of the effect of different extraction methods on total phenol, total flavonoid, anthocyanin, and antioxidant activity of fresh roselle calyces.

Source	DF	Mean Square				
		Total Phenol	Flavonoid	Anthocyanin	IC50 (DPPH)	IC50 (ABST)
Treat	11	912.19**	46.29**	87.53**	9456.03**	13882.47**
Error	24	215.16	14.11	5.9	22.37	1112.46
CV. (%)	-	9.57	10.8	24.1	13.09	11.01

اختلاف معنی داری از نظر میزان فنول کل مشاهده نشد. غلظت بالای ساکارز به همراه کاربرد پیش تیمار فراصوت و اتانول باعث خروج بهتر ترکیبات فنولی موجود در چای ترش گردید. پژوهشی در زمینه نفوذ ترکیبات فنلی انگور به میوه ها و سبزیجات در اثر اسمز انجام شد. عملیات اسمز در محلول حاوی عصاره ترکیبات فنلی انگور در سه غلظت مختلف، بررسی گردید. مقدار کل ترکیبات فنولی جذب شده در پایان فرآیند اسمز بین ۰/۵ تا ۱/۵ برابر بیشتر از میوه های مورد نظر در ابتدای آزمایش بود [۳۸].

مقایسه میانگین روش استخراج اسمز با سایر روش ها بر روی میزان فنول کل براساس آزمون چند دامنه ای دانکن در سطح ۵ درصد نشان داد پیش تیمار امواج صوتی بر میزان استخراج فنول کل تاثیر معنی داری داشته است. بطوریکه بیشترین میزان فنول کل در تیمار EO50S (۱۹۲/۶۹ میلی گرم در ۱۰۰ گرم ماده تازه) بدست آمد که اختلاف معنی داری با تیمار EO40S نداشت و کمترین میزان فنول کل در تیمار O30 بدست آمد. بین تیمارهای O50S و EO40 و O60 و O30 و O40 و O30 و O60 و W

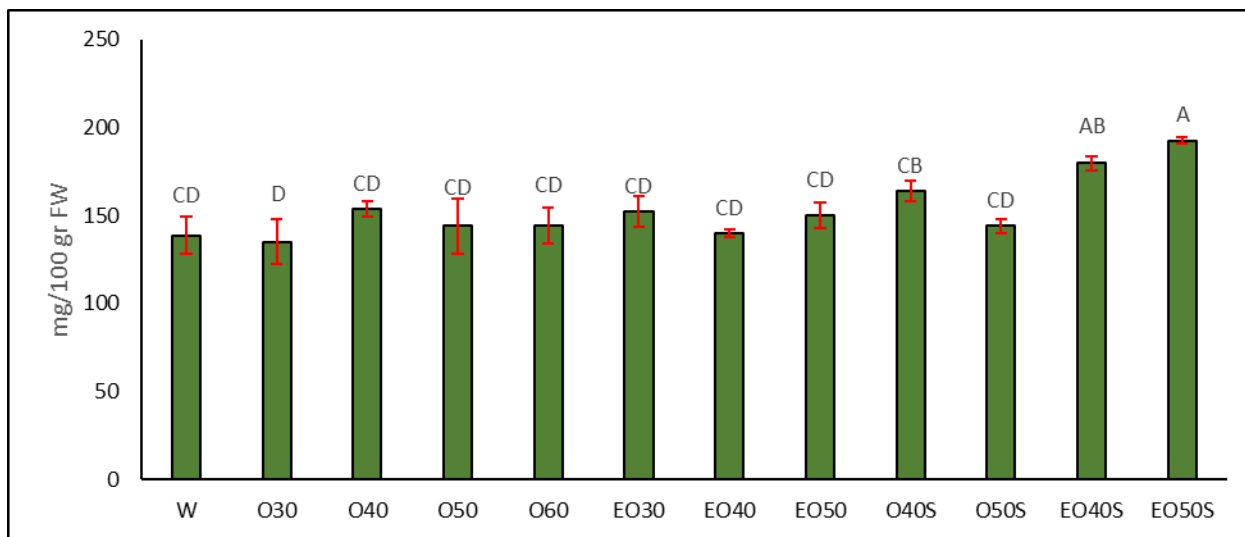


Fig1. The mean Comparison of osmosis extraction method on total phenol content based on Duncan's test ($p<0.05$)

فلاونوئید کل در تیمار O40S بدست آمد که اختلاف معنی داری با تیمارهای O30، O40، O50، EO40S، EO50 وجود نداشت. کمترین میزان فلاونوئید در تیمار O50 و O60 مشاهده شد که اختلاف معنی داری با تیمار O30، O40، EO40، O50S، O40 مشاهده نشد.

مقایسه میانگین روش استخراج اسمز با سایر روش ها بر روی میزان فلاونوئید کل براساس آزمون چند دامنه ای دانکن در سطح 5 درصد نشان داد، بیشترین میزان

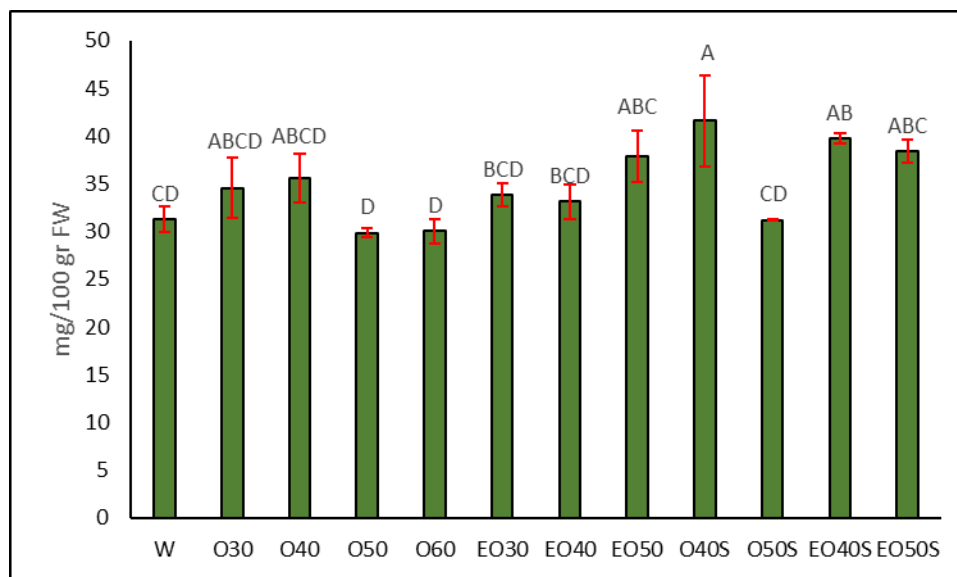


Fig2. The mean Comparison of the osmosis extraction method on total Flavonoid content based on Duncan's test ($p<0.05$)

ای دانکن در سطح 5 درصد نشان داد بیشترین میزان آنتوسبیانین در تیمار EO50S و تیمار EO40S بدست آمد.

مقایسه میانگین روش استخراج اسمز با سایر روش ها بر روی میزان آنتوسبیانین کل براساس آزمون چند دامنه

فراصوت بر برخی ویژگی های کیفی موز خشک شده به روش هوای داغ ارزیابی شد. از محلول های اسمزی قندی با غلظت های مختلف و با کمک امواج فراصوت با زمان های صوت دهی متغیر استفاده شد. نتایج نشان داد که بیشترین میزان حذف آب و جذب مواد جامد و کمترین میزان چروکیدگی در استفاده از محلول ۵۰ درصد گلوکز و پیش تیمار فراصوت حاصل شد [۳۹].

بین تیمارهای ۳۰، ۴۰، ۵۰، ۶۰، ۷۰، ۸۰ و ۹۰S اختلاف معنی داری از نظر کمترین میزان آنتوسبیانین مشاهده نشد. بصیری و غبی (۱۴۰۱) تاثیر اسمز و پیش تیمارهای آنزیم بری و فراصوت بر خروج ترکیبات موثره از گیاه دارویی آویشن را بررسی کردند که براساس نتایج استفاده از امواج فراصوت و آنزیم زدایی به عنوان پیش تیمار و فرآیند آبگیری اسمزی، اثرات مهم در رهاسازی مواد مؤثره از گیاه دارویی آویشن داشتند [۲]. همچنین شهیدی و همکاران (۲۰۲۰) تأثیر پیش تیمار اسمز و

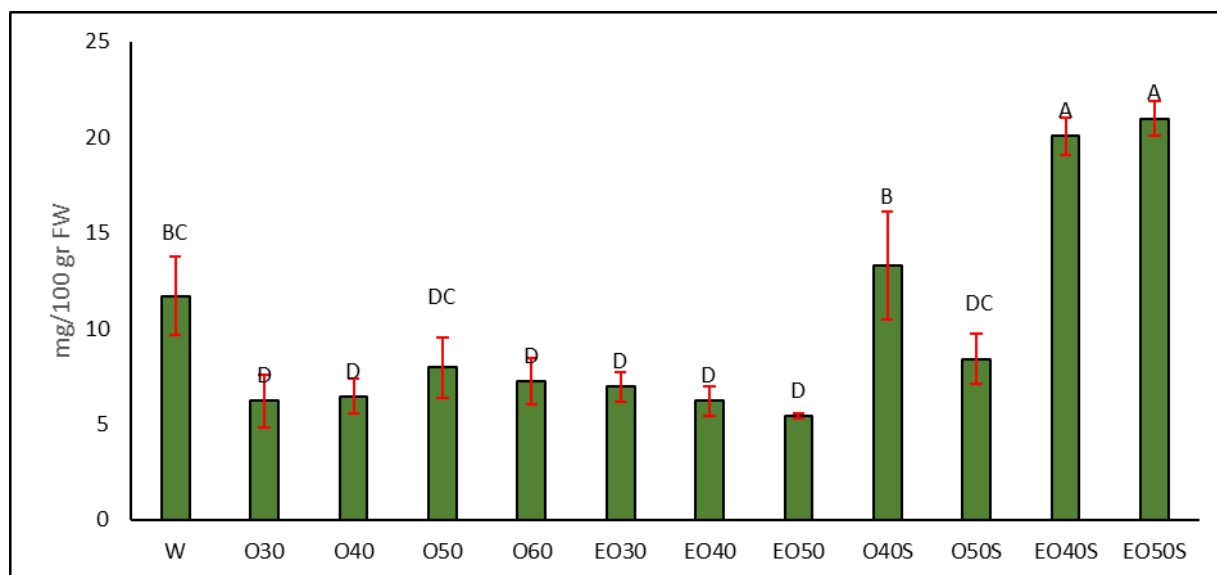


Fig3. The mean Comparison of osmosis extraction method on total Anthocyanin content based on Duncan's test ($p<0.05$)

مقایسه میانگین روش استخراج اسمز با سایر روش ها بر روی میزان IC50 براساس آزمون چند دامنه ای دانکن در سطح ۵ درصد نشان داد کمترین غلظت موثر بر مهار ۵۰ درصد رادیکال های آزاد در تیمار EO50S و EO40S به میزان (میلی گرم در میلی لیتر) بدست آمد که این میزان اختلاف معنی داری با تیمار O40S نداشت. کمترین خاصیت آنتی اکسیدانی در تیمار O30 بدست آمد که اختلاف معنی داری با سایر تیمارها نداشت. در مطالعه فنگ و همکاران (۲۰۲۰) یک تکنیک جدید استخراج سبز برای استخراج فلاونوئیدها از نیلوفر آبی با تغییر فشار اسمز مورد بررسی قرار گرفت و در این روش راندمان استخراج فلاونوئیدها با فعالیت آنتی اکسیدانی بالا بیشتر از روش

فعالیت آنتی اکسیدانی براساس غلظت موثر در مهار ۵۰ درصد رادیکال های آزاد DPPH (IC50) برآورد گردید. مقایسه میانگین روش استخراج اسمز با سایر روش ها بر روی میزان IC50 براساس آزمون چند دامنه ای دانکن در سطح ۵ درصد نشان داد کمترین غلظت موثر بر مهار ۵۰ درصد رادیکال های آزاد در تیمار EO50S به میزان (میلی گرم در میلی لیتر) بدست آمد که این میزان اختلاف معنی داری با تیمار O40S و EO40S نداشت. کمترین خاصیت آنتی اکسیدانی در تیمار O30 بدست آمد که اختلاف معنی داری با سایر تیمارها نداشت. همچنین فعالیت آنتی اکسیدانی براساس غلظت موثر در مهار ۵۰ درصد رادیکال های آزاد ABTS (IC50) برآورد گردید.

ستی شد. اثر رابط باعث افزایش استخراج در طول استخراج نمکی شد و اسmez عامل اصلی بهبود کارایی استخراج بود [۴۰].

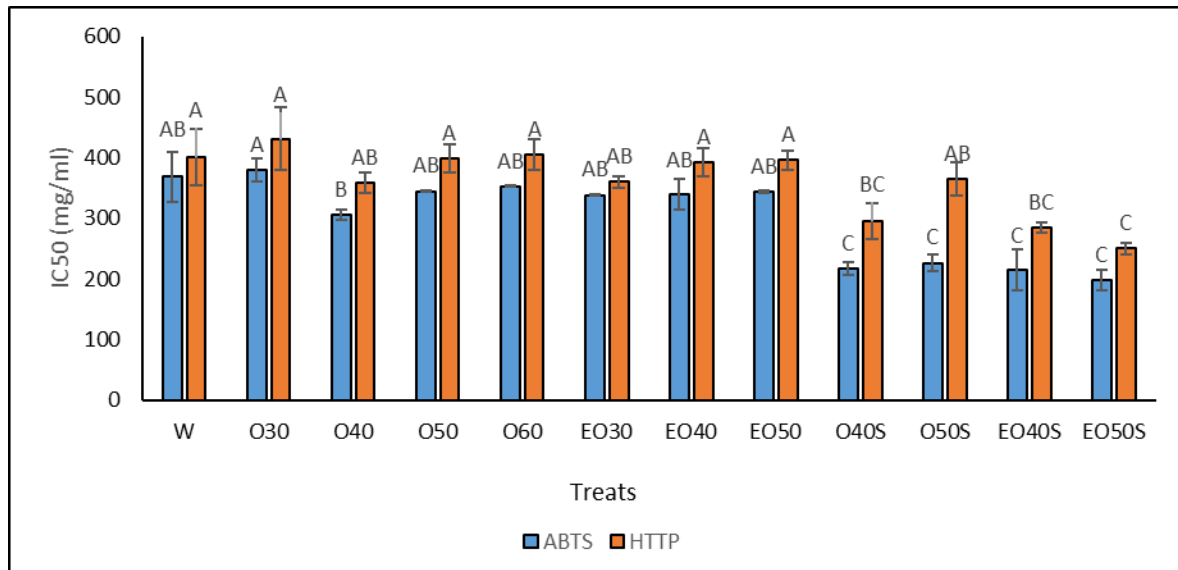


Fig4. The mean Comparison of osmosis extraction method on IC50 values of antioxidant activities, ABTS and DPPH radical scavenging based on Duncan's test ($p<0.05$)

ارزش فعالیت مهار ABST و DPPH یا IC50 همراه خواهد داشت. مقدار کمتر IC50 به معنای فعالیت آنتی اکسیدانی قوی تر است. ترکیبات فنلی به دلیل توانایی آن در اهدای الکترون به عنوان یک مهارکننده خوب شناخته شده‌اند [۴۱].

همبستگی پیرسون برای مشاهده همبستگی محتوای کل فلاونوئید و فنل و آنتوسیانین با فعالیت آنتی اکسیدانی آنها انجام شد. نتایج جدول ۶ نشان داد که محتوای فنلی کل، فلاونوئید کل و آنتوسیانین عصاره‌های گیاهی با فعالیت‌های مهار DPPH و ABST آنها همبستگی منفی معنی‌داری داشت. همبستگی منفی به این معنی است که مقدار بالاتر فلاونوئید کل، محتوای فنولی کل و آنتوسیانین،

Table 6. Correlation of total flavonoid and phenolic and Anthocyanin content with IC50 DPPH, ABST scavenging activity.

Antioxidant Parameter	Pearson's Correlation Coefficient (r)		
	Total Phenol	Total Flavonoid	Anthocyanin
IC50 DPPH	-0.89**	-0.58**	-0.80**
IC50 ABST	-0.60**	-0.47**	-0.66**

**: significant at $p<0.01$

تأثیر ۳۵/۷۲ بیشترین تفکیک را در بین روش‌های مختلف استخراج نشان می‌دهد و مؤلفه‌های دوم (PC2) و سوم (PC3) به ترتیب با تأثیر ۱۴/۰۱ و ۷/۹ درصد تغییرات

تجزیه به مؤلفه‌های اصلی روش‌های استخراج مواد موثره براساس نتایج فنل، فلاونوئید و آنتوسیانین و خاصیت آنتی اکسیدانی نشان داد مؤلفه اول (PC1) با ضریب

نشان می‌دهد. همان‌طور که در نمودار مشاهده می‌شود، روش‌های استخراج EO40S، EO50S و EO40 به طور واضح از سایر روش‌ها جدا شده‌اند و در سمت راست نمودار قرار گرفته‌اند. این تفکیک نشان‌دهنده عملکرد بالای این روش‌ها در استخراج ترکیبات موثره‌ای مانند فنل، فلاونوئید و آنتوسیانین و یا در بهبود خاصیت آنتی‌اکسیدانی است. مولفه دوم (PC2) با ۱۴.۰۱٪ از واریانس، تغییرات کمتری را نسبت به مولفه اول نشان می‌دهد. این مولفه به تفکیک برخی دیگر از روش‌های استخراج کمک می‌کند، اما تأثیر آن نسبت به مولفه اول کمتر است. مولفه سوم (PC3) با ۷.۹٪ از واریانس، نقش کمتری نسبت به مولفه‌های قبلی دارد، اما هنوز تفکیک‌هایی بین برخی از روش‌ها ایجاد می‌کند.

روش‌هایی مانند O50، EO30 و O60 که در مرکز نمودار قرار گرفته‌اند، نشان‌دادند تأثیرات متوسطی بر استخراج مواد موثره دارند، به طوری که تفاوت آن‌ها با سایر روش‌ها نه به اندازه‌ی روش‌های مانند EO40S و EO50S واضح است و نه کاملاً کم‌اثر.

کمتری در بین روش‌های استخراج نشان می‌دهند. مولفه اول نشان می‌دهد که روش‌های استخراج EO40S، EO50S و EO40S بیشترین تفاوت را با سایر روش‌ها دارند. این روش‌ها به صورت جداگانه در سمت راست نمودار گروه‌بندی شده‌اند که نشان می‌دهد این روش‌ها مقادیر بالاتری از مواد موثره مانند فنل، فلاونوئید و آنتوسیانین یا خاصیت آنتی‌اکسیدانی دارند. مولفه‌های دوم و سوم نیز به طور مؤثری تفکیک روش‌های استخراج را انجام داده‌اند، اما تفاوت‌ها کمتر از مولفه اول است. برخی روش‌های استخراج مانند O50، EO30 و O60 در مرکز نمودار قرار دارند که نشان‌دهنده تأثیر متوسط این روش‌ها بر استخراج مواد موثره است. این نتایج نشان می‌دهد که انتخاب روش استخراج مناسب نقش کلیدی در افزایش بازده استخراج مواد موثره گیاهی دارد، به‌ویژه روش‌های اسمز و فراصوت که در نمودار به صورت گروه‌بندی شده متمایز شده‌اند. برای به دست آوردن بیشترین مقدار از مواد موثره (فنل، فلاونوئید، آنتوسیانین و خواص آنتی‌اکسیدانی)، استفاده از روش‌های EO40S، EO50S و O40S مناسب‌تر به نظر می‌رسد. تجزیه به مولفه‌های اصلی (PCA) بر اساس نتایج فنل، فلاونوئید، آنتوسیانین و خاصیت آنتی‌اکسیدانی نشان می‌دهد که مولفه اول (PC1) با ۷۲.۳۵٪ از واریانس، بیشترین تفکیک را در میان روش‌های مختلف استخراج

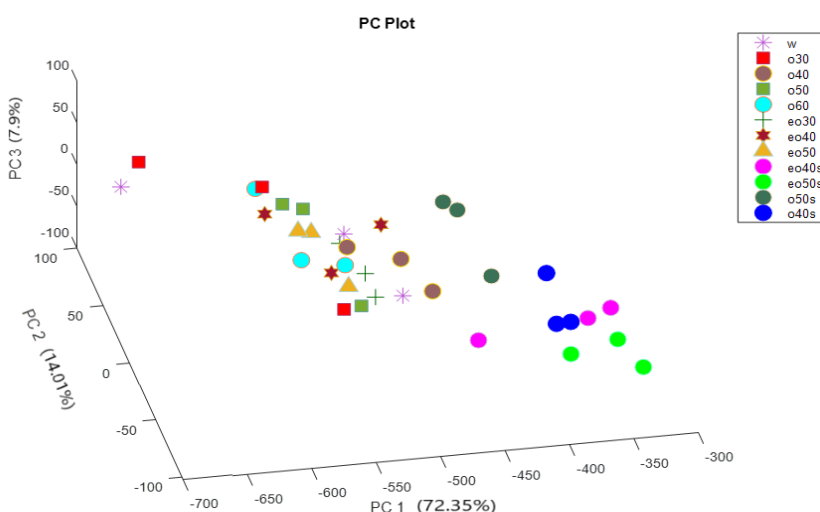


Fig 5. Principal Component Analysis (PCA) of Different Extraction Methods Based on Phenol, Flavonoid, Anthocyanin Content, and Antioxidant Activity

الکل اثر چشم گیری در خروج مواد موثره گیاهی گذاشته و استفاده از روش اسمز را موثرتر می‌نماید. بطوریکه استفاده از روش اسمز با غلاظت ۴۰ درصد به همراه پیش تیمار فراصوت با الکل می‌تواند در استخراج مواد موثره چای ترش تازه روش مناسبی باشد.

۵- تشکر و قدردانی

این مقاله برگرفته از طرح تحقیقاتی به شماره ۱۴۰۱/۴۸ می‌باشد. از معاونت پژوهشی دانشگاه علوم کشاورزی و منابع طبیعی خوزستان بخاطر حمایت مادی و معنوی از طرح تشکر و قدردانی می‌شود.

۴- نتیجه گیری کلی

در این مطالعه محلول قندی ساکارز با غلاظتهاي متفاوت و کاربرد پیش تیمار فراصوت و استفاده از حلال الكل بر میزان ترکیبات استخراج شده از کاسبرک های تازه چای مورد بررسی قرار گرفت. بررسی نشان داد میزان pH با افزایش زمان و غلاظت کاهش یافت در حالیکه میزان EC با افزایش زمان افزایش و با افزایش غلاظت تغییرات معنی داری نداشت. کاربرد پیش تیمار فراصوت و افزودن اتانول اثر معنی داری بر pH و EC نداشت در حالیکه بررسی تاثیر محلول های قندی بر میزان فنل کل، فلاونوئید کل، خاصیت آنتی اکسیدانی و آنتوسبایانین کل هرچند در بسیاری پارامترها در مقایسه با شاهد (آب) اختلاف معنی داری نداشت ولی کاربرد پیش تیمار فراصوت به همراه افزودن ۱۰ درصد

۶- منابع

- [1] Hashemi Gahrue, H., Eskandari, M. H., Mesbahi, G., Hanifpour, M. A. (2015). Scientific and technical aspects of yogurt fortification: A review. *Food Science and Human Wellness*, 4(1), 1–8.
- [2] Basiri, S. H. A. D. I., & Gheibi, F. (2022). The effect of osmosis and blanching and ultrasound pretreatments on extraction of effective compounds from Thyme. *Journal of food science and technology (Iran)*, 19(123), 69-80.
- [3] Hashemi Gahrue, H., Hosseini, S. M. H., Taghavifard, M. H., Eskandari, M. H., Golmakani, M. -T., Shad, E. (2017). Lipid oxidation, color changes, and microbiological quality of frozen beef burgers incorporated with Shirazi thyme, cinnamon, and rosemary extracts. *Journal of Food Quality*, 1–9.
- [4] Samsam shariat, H. (2007). Extraction of active compounds of medicinal plants and methods of their identification and evaluation. *Manii Publications*, 258 pages. (in Persian).
- [5] Wei, Y.Q., Sun, M.M., Fang, H.Y. (2019). Dienzyme-assisted salting-out extraction of flavonoids from the seeds of Cuscuta chinensis Lam. *Ind. Crop. Prod.*, 127, 232–236.
- [6] Fu, H., Yang, S.T., Xiu, Z. (2015). Phase separation in a salting-out extraction system of ethanol-ammonium sulfate. *Sep. Purif. Technol.*, 148, 32–37.
- [7] Chandra, S., Kumari, D. (2015). Recent development in osmotic dehydration of fruit and vegetables: A review Critical Reviews . *Food Science and Nutrition*, 55 , 552 –561.
- [8] Alzamora, S. M., Salvatori, D., Tapia, S. M., López -Malo, A., WeltiChanes, J., Fito, P. (2005). Novel Functional Foods from Vegetable Matrices Impregnated with Biologically Active Compounds. *Journal of Food Engineering*, 67 (1), 205 -214.
- [9] Hou, B.J., Wei, Y.Q., Ma, F., Wang, X.N., Yang, S.Z. (2017). Chelatometric salting-out extraction and characteristics of flavonoids from Folium nelumbinis based on an ethanol/K₂HPO₄ system. *Sep. Sci. Technol.*, 12, 717–724.
- [10] Reis, I.A., Santos, S.B., Pereira, F.D., Sobral, C.R., Freire, M.G., Freitas, L.S., Soares, C.M., Lima, A.S. (2014). Extraction and recovery of rutin from acerola waste using alcohol-salt-based aqueous two-phase systems. *Sep. Purif. Technol.*, 49, 656–663.
- [11] Zhang, W., Zhu, D., Fan, H., Liu, X., Wan, Q., Wu, X., Liu, P., Tang, J.Z. (2015). Simultaneous extraction and purification of alkaloids from Sophora flavescens Ait. by microwave-assisted aqueous two-phase extraction with ethanol/ammonia sulfate system. *Sep. Purif. Technol.*, 141, 113–123.
- [12] Chen, Z., Zhang, W., Tang, X., Fan, H., Xie, X., Wan, Q., Wu, X., Tang, J.Z. (2020). Extraction and characterization of polysaccharides from Semen Cassiae by microwave-assisted aqueous two-phase extraction coupled with spectroscopy

- and HPLC. *Carbohydr. Polym.* 2016, 144, 263–270.
- [13] Guo, T., Su, D., Huang, Y., Wang, Y., Li, Y.H. (2015). Ultrasound-assisted aqueous two-phase system for extraction and enrichment of *Zanthoxylum armatum* lignans. *Molecules*, 20, 15273–15286.
- [14] Dong, B., Yuan, X., Zhao, Q., Feng, Q., Zhao, B. (2015). Ultrasound-assisted aqueous two-phase extraction of phenylethanoid glycosides from *Cistanche deserticola* Y. C. Ma stems. *J. Sep. Sci.*, 38, 1194–1203.
- [15] Li, L.J., Jin, Y.R., Wang, X.Z., Liu, Y., Wu, Q., Shi, X.L. (2015). Ionic liquid and aqueous two-phase extraction based on salting-out coupled with high-performance liquid chromatography for the determination of seven rare ginsenosides in Xue-Sai-Tong injection. *J. Sep. Sci.*, 38, 3055–3062.
- [16] Feng, Y.C., Li, W.L., He, F.M., Kong, T.T., Huang, X.W., Gao, Z.H., Lu, N.H., Li, H.L. (2015). Aqueous two-phase system as an effective tool for purification of phenolic compounds from fig fruits (*Ficus carica* L.). *Sep. Purif. Technol.*, 50, 1785–1793.
- [17] Wei, Y.Q., Hou, B.J., Fang, H.Y., Sun, X.J., Ma, F. (2020). Salting-out extraction of ginsenosides from the enzymatic hydrolysates of *Panax quinquefolium* based on ethanol/sodium carbonate system. *J. Ginseng Res.*, 1, 44–49.
- [18] Sun, Y., Yan, L., Fu, H., Xiu, Z. (2014). Salting-out extraction and crystallization of succinic acid from fermentation broths. *Process. Biochem.*, 49, 506–511.
- [19] Ooi, C.W., Tey, B.T., Hii, S.L., Kamal, S.M.M., Lan, J.C.W., Ariff, A., Ling, T.C. (2009). Purification of lipase derived from *Burkholderia pseudomallei* with alcohol/saltbased aqueous two-phase systems. *Process. Biochem.*, 44, 1083–1087.
- [20] Zhang, Z.R., Shen, J.T., Dai, J.Y., Sun, Y.Q., Xiu, Z.L. (2020). Separation and purification of klebsiella phage by two-step salting-out extraction. *Sep. Purif. Technol.*
- [21] Amid, M., Shuhaimi, M., Sarker, M.Z.I., Manap, M.Y.A. (2012). Purification of serine protease from mango (*Mangifera Indica* Cv. Chokanan) peel using an alcohol/salt aqueous two phase system. *Food Chem.*, 132, 1382–1386.
- [22] Bahmania , L., Aboonajmia, M., Arabhosseinia A., Mirsaeedghazi, H. (2018). Effects of ultrasound pre -treatment on quantity and quality of essential oil of tarragon (*Artemisia dracunculus* L.) leaves. *Journal of Applied Research on Medicinal and Aromatic Plants*, 8, 47 -52.
- [23] Wang, L., Weller, C. L. (2006). Recent advances in extraction of nutraceuticals from plants. *Trends Food Science and Technology*, 17, 300 -312.
- [24] Soria, A. C., Villamiel, M. (2010). Effect of ultrasound on the technological properties and bioactivity of food: a review. *Food Science and Technology*, 21 , 323 -331.
- [25] Javadian, F., Sepehri, Z., Amraee, M., Kiani, Z., Shahraki Mojahed, M., Shahi, Z., & Pourghasemi Fetideh, S. (2015). An Evaluation of Antibacterial activity of Ethanolic Extract of sour tea (*Hibiscus Sabdariffa*) against Klebsiella Pneumoniae Resistant to antibiotics. *Journal of Sabzevar University of Medical Sciences*, 22(4), 565-570.
- [26] Azimi, M. H., Haji Mirrahimi, S. D., & Asadi, A. (2017). Cultivation and production of roselle (*Hibiscus sabdariffa*). *Asrar Elm Publications*. 65 pages. (in Persian).
- [27] Mahadevan N., Shivali, Kamboj, P. (2009). *Hibiscus sabdariffa* Linn._ An overview. *Natural product Radiance* 8(1), 77-83.
- [28] Ghasemnezhad, M., Sherafati, M., Payvast, Gh. (2011). Variation in phenolic compounds, ascorbic acid and antioxidant activity of five coloured bell pepper (*Capsicum annum*) fruits at two different harvest times. *Journal of Functional Foods*. 3, 44-49.
- [29] Chang, C.C., Yang, M.H., Wen, H.M., Chern, J.C. (2002). Estimation of total flavonoid content in propolis by two complementary colorimetric methods, *Journal of Food and Drug Analysis*, 10(3), 178-182.
- [30] Sun, T., Xu, Z., Wu, C.T., Janes, M., & Prinyawiwathul W., N.O.H.K. (2007). Antioxidant activities of different colored Sweet bell pepers (*Capsicum annum* L.). *J. Food Sci.* 72, S98-S102.
- [31] Noshad, M., Alizadeh Behbahani, B., Jooyandeh, H., Rahmati-Joneidabad, M., Hemmati Kayha, M. E., & Ghodsi Sheikhjan, M. (2021). Utilization of *Plantago major* seed mucilage containing *Citrus limon* essential oil as an edible coating to improve shelf-life of buffalo meat under refrigeration conditions. *Food Science & Nutrition*, 9(3), 1625-1639.
- [32] Lee, J., Durst, R. W., Wrolstad, R. E., & Collaborators: Eisele T Giusti MM Hach J Hofsommer H Koswig S Krueger DA Kupina; S Martin SK Martinsen BK Miller TC Paquette F Ryabkova A Skrede G Trenn U Wightman JD. (2005). Determination of total monomeric anthocyanin pigment content of fruit juices, beverages, natural colorants, and wines by the pH

- differential method: collaborative study. *Journal of AOAC international*, 88(5), 1269-1278.
- [33] Brown, T. L., LeMay, H. E., Bursten, B. E., & Murphy, C. J. Woodward, P., Stoltzfus, M. (2018). Chemistry: The Central Science (14th ed.). Pearson Education.1248 pages.
- [34] Stokes, J. M., & Stokes, R. H. (1956). The conductances of some simple electrolytes in aqueous sucrose solutions at 25°. *The Journal of Physical Chemistry*, 60(2), 217-220.
- [35] Iyasele, J. U., David, J., Idiata, D. (2015). Investigation of the relationship between electrical conductivity and total dissolved solids for mono -Valent, di -valent and Tri -valent metal compounds. *International Journal of Engineering Research and Reviews*, 3(1), 40 -48.
- [36] Sandeep, D. B. (2004). Effect of ohmic heating on color, rehydration and textural characteristics of fresh carrot cubes. *Louisiana State University*, India.
- [37] Fasogbon, B. M., Gbadamosi, S. O., & Taiwo, K. A. (2013). Studies on the osmotic dehydration and rehydration characteristics of pineapple slices. *J. Food Proc. Technol*, 4(220), 1-8.
- [38] Rózeka, A., García -Pérez, J. V., López, F., Güell, C., Ferrando, M. (2010). Infusion of grape phenolics into fruits and vegetables by osmotic treatment: phenolic stability during air drying. *Journal of Food Engineering*, 99 (2), 142 -150.
- [39] Shahidi, F., Mohebbi, M., Noshad, M., Ehtiali, A., Fathi, M. (2012). The effect of osmosis and ultrasound pretreatments on some quality characteristics of hot air dried bananas. *Iranian Food Science and Technology Research Journal*, 7 (4), 263 - 272.
- [40] Fang HY, Wei YQ, Zhang ML, Liu W. (2020). A Novel Green Extraction Technique for Extracting Flavonoids from Folium nelumbinis by Changing Osmosis Pressure. *Materials* (Basel),13(18), 4192. doi: 10.3390/ma13184192. PMID: 32967241; PMCID: PMC7560442.
- [41] Indradi, R. B., Fidrianny, I., Wirasutisna, K. R. (2017). DPPH Scavenging Activities and Phytochemical Content of Four Asteraceae Plants. *International Journal of Pharmacognosy and Phytochemical Research*, 9(6), 755-759



Scientific Research

Evaluation of the efficiency of osmotic methods and the use of pretreatment in the extraction of active and antioxidant compounds from hibiscus tea and comparison with other methods

Fatemeh Borna^{1*}, Mostafa Rahmati-Joneidabad²,

*1- Corresponding author, Assistant Professor, Department of Horticultural Science, Faculty of Agriculture, Agricultural Sciences and Natural Resources University of Khuzestan, Mollasani, Iran.

2- Associate Professor, Department of Horticultural Science, Faculty of Agriculture, Agricultural Sciences and Natural Resources University of Khuzestan, Mollasani, Iran.

ARTICLE INFO**ABSTRACT****Article History:**

Received:2024/12/8

Accepted:2024/12/21

Keywords:

Anthocyanin,

Hibiscus sabdariffa,

Osmotic extraction,

Total flavonoid,

Ultrasonic pretreatment

DOI: 10.22034/FSCT.22.161.244.

*Corresponding Author E-

Borna@asnrukh.ac.ir

This research examines the efficiency of various methods for extracting active compounds from hibiscus tea (*Hibiscus sabdariffa*), focusing on osmotic techniques and the application of specific pretreatments including ultrasound and ethanol. Hibiscus tea, known for its high content of anthocyanins, flavonoids, and phenolic compounds, possesses antioxidant, antibacterial, and blood pressure-lowering properties, making it a rich source of beneficial medicinal and nutritional compounds. In this study, fresh calyces of hibiscus tea were used for extraction, and the impact of different concentrations of osmotic solutions and ultrasound pretreatment in the presence of ethanol on the extraction yield of compounds was investigated. The results indicate that the combination of osmotic methods with ultrasound pretreatment and ethanol solvent significantly increases the yield of phenolic and flavonoid compounds. The highest amount of these compounds was obtained from the EO50S treatment, which included a 50% sucrose osmotic solution combined with ultrasound and ethanol. This method demonstrated better performance due to the preservation of the antioxidant properties of the extracted materials, especially compared to conventional extraction methods. Additionally, the results of the principal component analysis showed that the methods EO50S, EO40S, and O40S exhibited the highest efficiency in extracting plant active compounds. Overall, the findings of this research suggest that osmotic methods combined with ultrasound and ethanol provide an efficient and environmentally friendly approach for extracting active compounds from hibiscus tea, and could be applied in the pharmaceutical and food industries for extracting beneficial compounds from medicinal plants.